

Incertidumbres asociadas a las proyecciones de cambio climático: Trabajos en el grupo MAR

J.P. Montávez, S. Jerez, J.J. Gomez-Navarro, P. Jimenez-Guerrero
J.A. Garcia-Valero, R. Lorente, J.F. Gonzalez-Rouco

Grupo de Modelización Atmosférica Regional (MAR)
Departamento de Física,
Universidad de Murcia



Motivación

Incertidumbres GCMs y escenarios

Incertidumbres asociadas a MCRs

-Caracterización del suelo.

-Formulación de los modelos.

-Efectos sobre fronteras.

-Varibilidad interna.

-Física (o parametrizaciones)

Formas de intentar reducir incertidumbres:

Ensembles!! Multimodelo, Multifísica,

Líneas generales del grupo

-Modelos de Clima regionales.

- Evaluar modelos en la reproducción del clima actual y su aplicabilidad en energías renovables, climatologías ...
- Evaluar incertidumbres en distintas variables climáticas en proyecciones de cambio climático, asociadas a:

- Física, modelos globales, escenarios,

- Preparación de bases de datos para otro tipo de estudios relacionados con el CC: impacto, adaptación, etc ...

- Sensibilidad de parámetros del suelo

- Estudios de variabilidad climática y métodos estadísticos

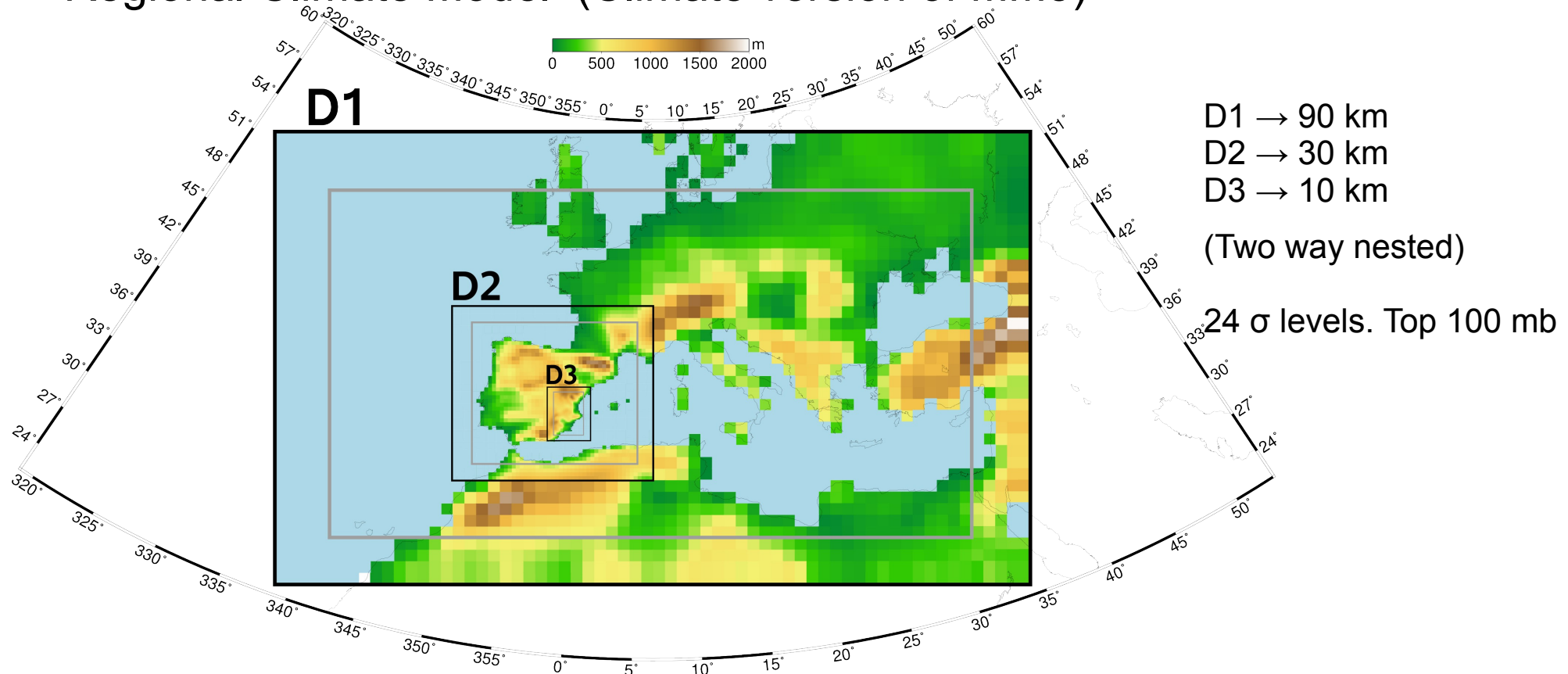
- Contaminación atmosférica a escalas climáticas.

- Paleoclima

Algunos Resultados

Ejemplo de configuración espacial

Regional Climate Model (Climate version of MM5)



Driving conditions:
-ERA40
-GCMs outputs

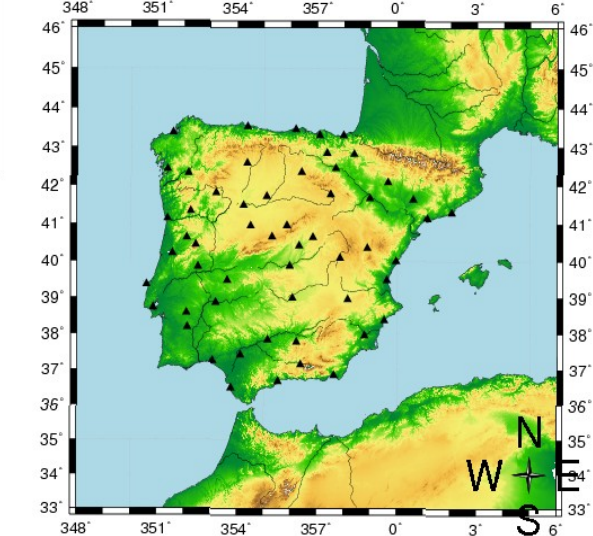
Evaluación en reproducir clima actual y sensibilidad a la Física

TEMPERATURE

| Config. | DJF | | MAM | | JJA | | SON | |
|---------|--------|------|--------|------|--------|------|--------|------|
| | ρ | rmse | ρ | rmse | ρ | rmse | ρ | rmse |
| 434421 | 0.95 | 3.28 | 0.91 | 2.83 | 0.84 | 2.65 | 0.93 | 3.21 |
| 435421 | 0.94 | 1.26 | 0.91 | 1.42 | 0.89 | 1.72 | 0.93 | 1.56 |
| 464421 | 0.95 | 2.77 | 0.91 | 2.56 | 0.86 | 2.73 | 0.94 | 2.78 |
| 465421 | 0.94 | 1.68 | 0.91 | 1.62 | 0.89 | 1.84 | 0.93 | 1.85 |
| 534421 | 0.95 | 2.98 | 0.90 | 2.83 | 0.82 | 2.87 | 0.93 | 3.03 |
| 535421 | 0.94 | 1.92 | 0.91 | 1.85 | 0.87 | 1.83 | 0.92 | 2.02 |
| 564421 | 0.95 | 2.62 | 0.90 | 2.58 | 0.85 | 2.68 | 0.93 | 2.63 |
| 565421 | 0.94 | 1.72 | 0.91 | 1.75 | 0.88 | 1.93 | 0.92 | 1.87 |

Better results in rmse with MRF PBL scheme for all seasons.

Location of the meteorological stations providing observational data:



PRECIPITATION

| Config. | DJF | | MAM | | JJA | | SON | |
|---------|--------|-------|--------|-------|--------|-------|--------|-------|
| | ρ | rmse | ρ | rmse | ρ | rmse | ρ | rmse |
| 434421 | 0.68 | 40.15 | 0.69 | 23.83 | 0.81 | 12.39 | 0.66 | 31.11 |
| 435421 | 0.66 | 39.08 | 0.68 | 22.39 | 0.80 | 11.93 | 0.71 | 26.26 |
| 464421 | 0.68 | 39.29 | 0.70 | 23.64 | 0.61 | 21.70 | 0.65 | 29.39 |
| 465421 | 0.69 | 39.05 | 0.70 | 24.57 | 0.62 | 19.96 | 0.71 | 28.47 |
| 534421 | 0.64 | 40.94 | 0.77 | 23.85 | 0.79 | 13.96 | 0.66 | 30.79 |
| 535421 | 0.67 | 39.52 | 0.72 | 25.50 | 0.81 | 11.65 | 0.70 | 28.43 |
| 564421 | 0.66 | 39.71 | 0.69 | 23.18 | 0.59 | 23.76 | 0.62 | 29.21 |
| 565421 | 0.67 | 39.77 | 0.70 | 24.65 | 0.62 | 21.20 | 0.70 | 28.71 |

Some dependence on cumulus in summer. Grell gives better results.

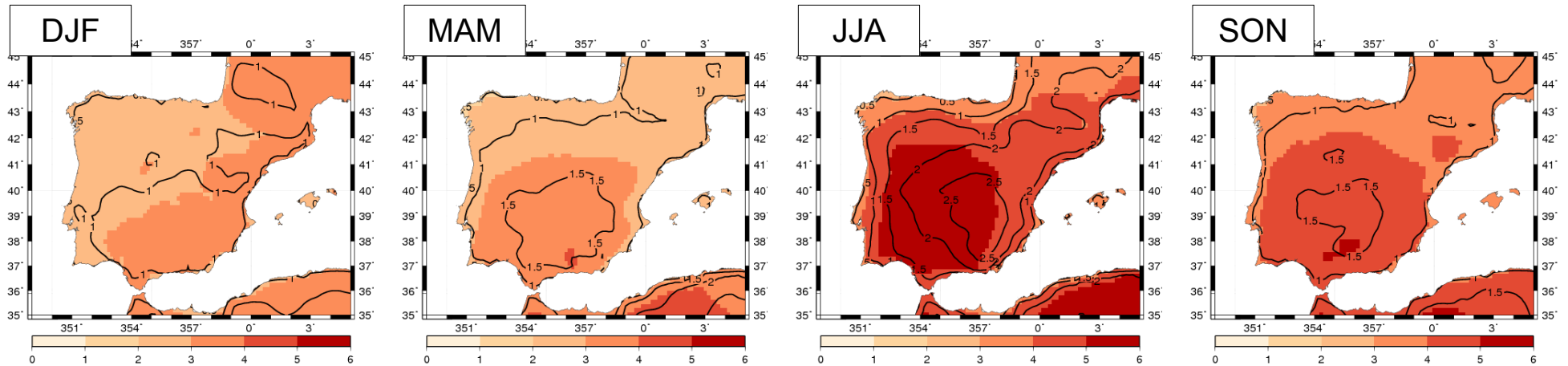
Ejemplo de sensibilidad a la Física

- **Soil:** Noah
- **Radiation:** RRTM
- **Cumulus:** Grell or Kain-Fritsch
- **PBL:** MRF or Eta
- **Microphysics:** Simple Ice or Mixed phase

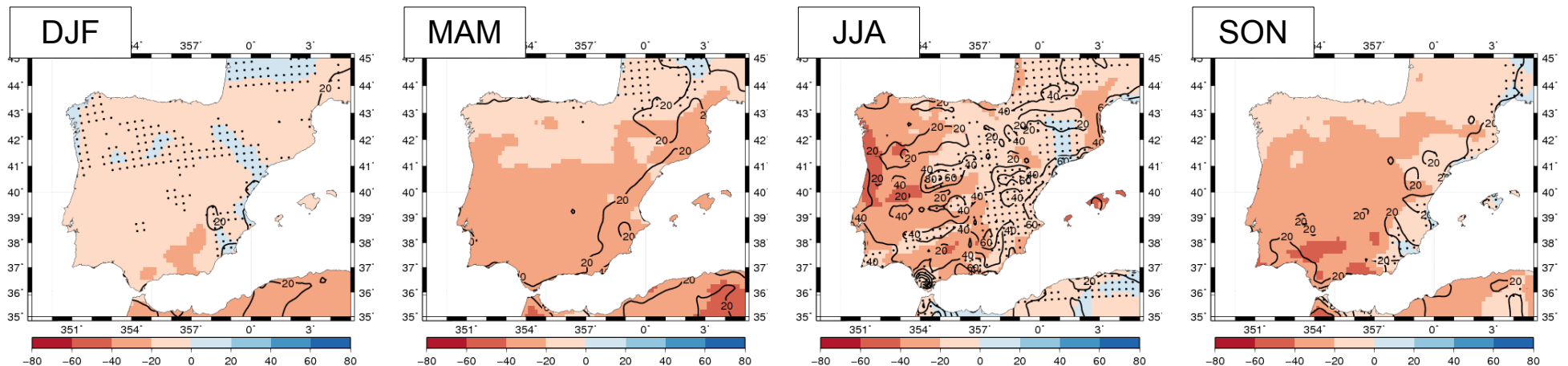
Ensemble members:

| IDENTIFIER | MICROPHYSICS | CUMULUS | PBL |
|------------|--------------------|---------------------|----------------|
| 1 (434) | <i>Simple Ice</i> | Grell | <i>Eta PBL</i> |
| 2 (435) | <i>Simple Ice</i> | Grell | <i>MRF</i> |
| 3 (464) | <i>Simple Ice</i> | <i>Kain-Fritsch</i> | <i>Eta PBL</i> |
| 4 (465) | <i>Simple Ice</i> | <i>Kain-Fritsch</i> | MRF |
| 5 (534) | <i>Mixed Phase</i> | Grell | <i>Eta PBL</i> |
| 6 (535) | <i>Mixed Phase</i> | Grell | <i>MRF</i> |
| 7 (564) | <i>Mixed Phase</i> | <i>Kain-Fritsch</i> | <i>Eta PBL</i> |
| 8 (565) | <i>Mixed Phase</i> | <i>Kain-Fritsch</i> | <i>MRF</i> |

Incremento medio de T2M (con colores) y spread del ensemble (con contornos) 2071-2099 vs. 1971-1999



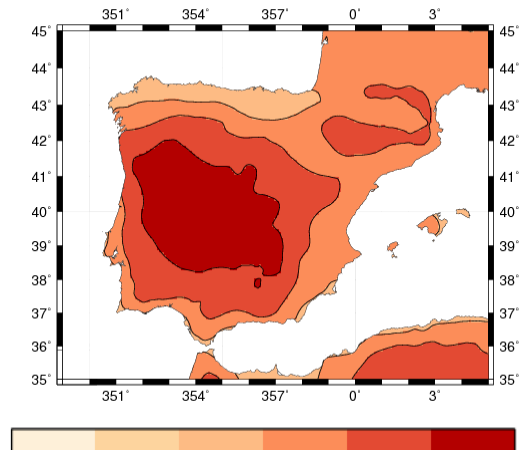
Cambio medio de PRE en % (con colores) Spread del ensemble (con contornos) Desacuerdo del ensemble en la tendencia (con puntos)



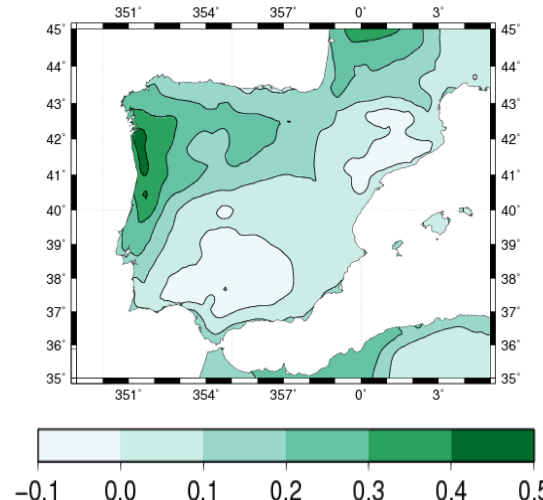
Efectos de realimentación positiva del suelo

Different climate change projections...

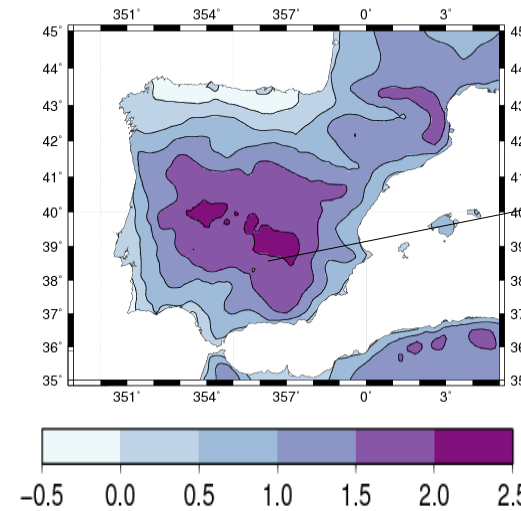
Climate change projection
from MM5-ECHOG-Noah
(Future – Control period)



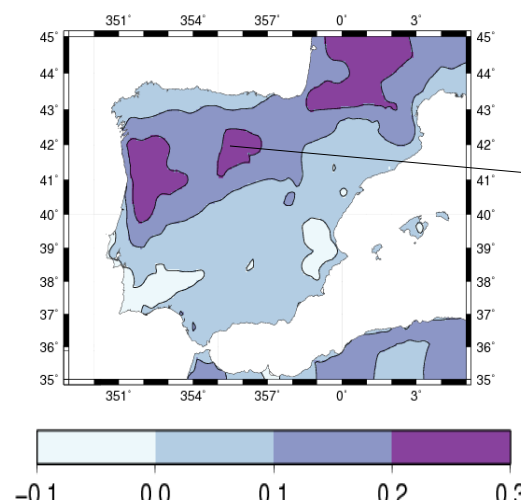
Variability of T2M
summer series



Differences in the climate
change projections
(Noah - Slab)



Driest areas



Areas with a
bigger
reduction of
available soil
moisture

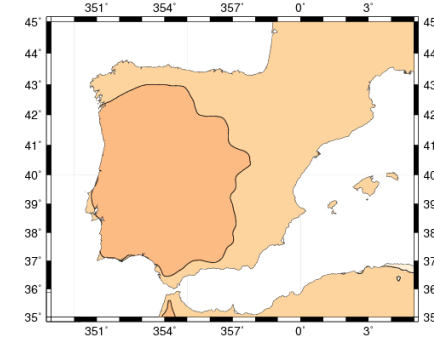
Results: Climate change temperatures

proyectadas

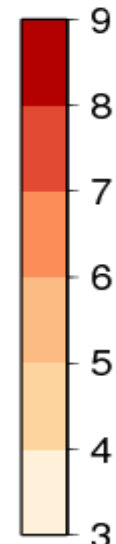
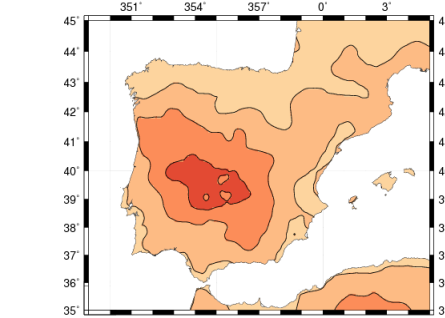
Different climate change projections: **T2M extremes**

Mean summer T2M min

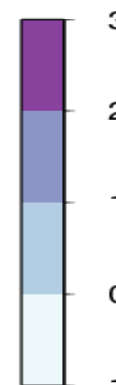
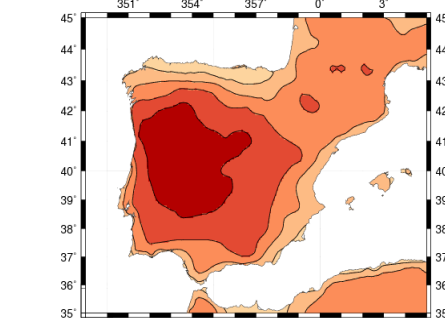
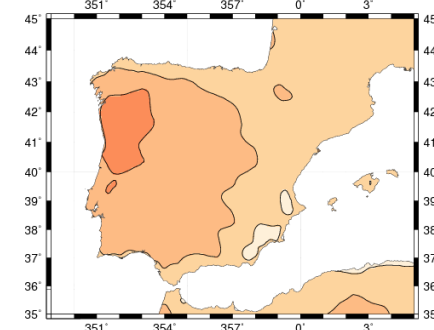
Projected change from
MM5-ECHOG-Slab



Projected change from
MM5-ECHOG-Noah

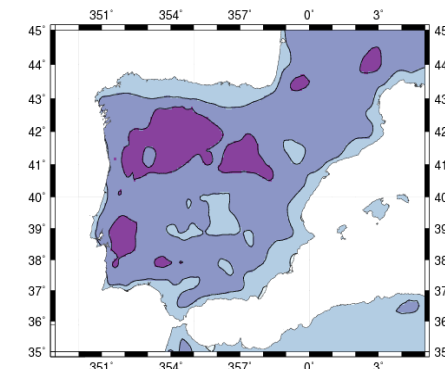
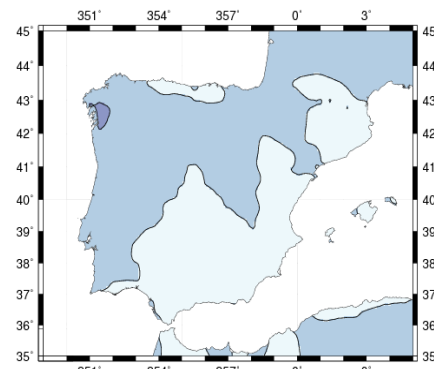


Mean summer T2M max

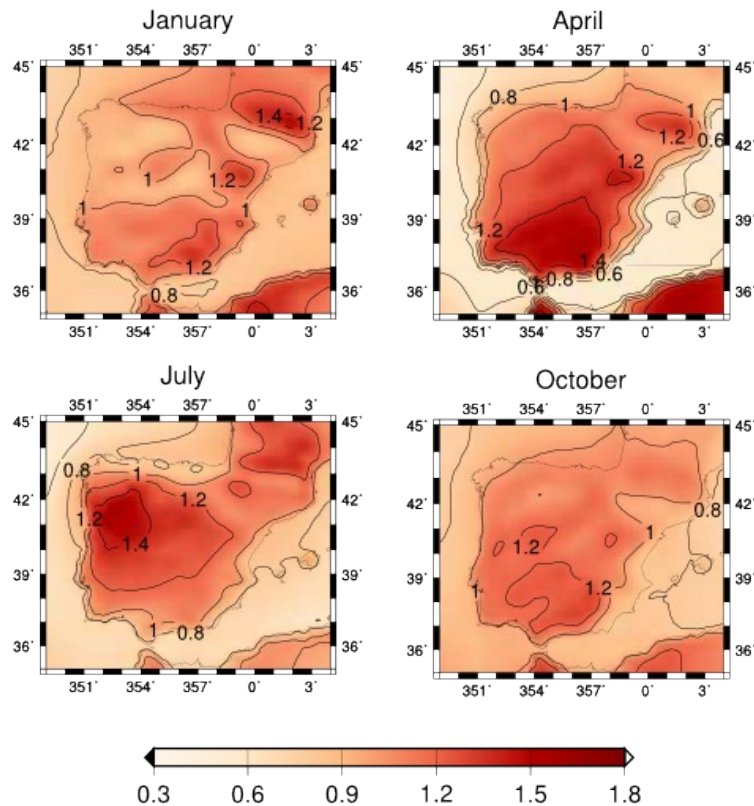


Mean summer T2M max projection
minus

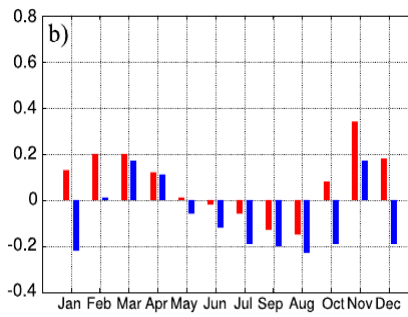
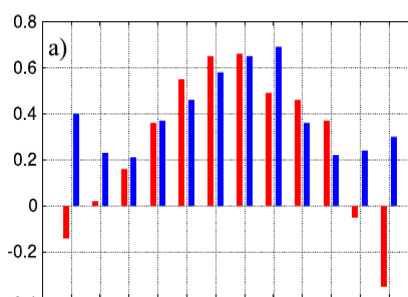
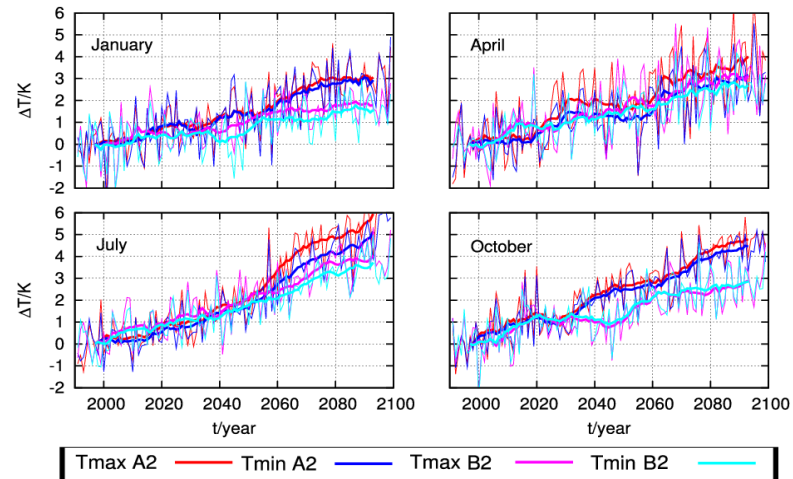
Mean summer T2M min projection



Sensibilidad de los patrones espaciales de cambio



| Month | EGA2 vs. EGB2 | | E5A2 vs. E5-A1B | | EGA2 vs. E5A2 | |
|-------|---------------|------|-----------------|------|---------------|------|
| | Tmax | Tmin | Tmax | Tmin | Tmax | Tmin |
| Jan | 0.97 | 0.98 | 0.98 | 0.97 | 0.97 | 0.95 |
| Feb | 0.99 | 0.99 | 0.98 | 0.94 | 0.94 | 0.95 |
| Mar | 0.91 | 0.95 | 0.91 | 0.88 | 0.88 | 0.83 |
| Apr | 0.96 | 0.97 | 0.94 | 0.95 | 0.82 | 0.78 |
| May | 0.91 | 0.95 | 0.83 | 0.89 | 0.96 | 0.92 |
| Jun | 0.97 | 0.96 | 0.92 | 0.96 | 0.92 | 0.93 |
| Jul | 0.97 | 0.96 | 0.93 | 0.96 | 0.97 | 0.93 |
| Aug | 0.98 | 0.97 | 0.95 | 0.97 | 0.80 | 0.82 |
| Sep | 0.96 | 0.96 | 0.99 | 0.98 | 0.94 | 0.93 |
| Oct | 0.99 | 0.97 | 0.95 | 0.97 | 0.96 | 0.92 |
| Nov | 0.97 | 0.93 | 0.98 | 0.97 | 0.97 | 0.90 |
| Dec | 0.97 | 0.97 | 0.93 | 0.77 | 0.96 | 0.93 |



Tmax ——— Tmin ———